

# О ДЛИТЕЛЬНЫХ НАРУШЕНИЯХ РАВНОВЕСИЯ В ПЛЕНКАХ И ЕДИНИЧНЫХ ДИСПЕРСНЫХ ЧАСТИЦАХ

*A. V. Волкова, M. A. Горбунов*

Участие твердотельной плазмы в переносе энергии волн [1] приводит к появлению экстремумов скорости  $C$  распространения энергии ультразвуковых (УЗ) импульсов в зависимости от температуры, по которым можно регистрировать температуры  $T_n$  релаксационных процессов и фазовых превращений надежнее, чем по температурным зависимостям скорости  $C'$  продольных УЗ волн [2].

В задачу работы входили регистрация  $T_n$  для материалов, различающихся по электропроводности, по методу [2], и изучение механизма появления экстремумов  $C$  на зависимости от температуры.

Исследовались медная фольга и TiNi толщиной 200 мкм, пленки изотактического полипропилена (ПП) и полиарилата (ПА) типа Д-4 толщиной 200 и 20 мкм, единичные дисперсные частицы (ЕДЧ) ПА и ПП размером 20 мкм, слои Si кристаллографического среза [111]:  $n$ -типа с концентрацией электронов  $9.1 \cdot 10^{14}$  см $^{-3}$  толщиной 400 мкм; типа КДБ-10, КДБ-0.03, КЭС-0.01 толщиной 400 мкм; типа КЭС-0.01 толщиной 200 мкм, покрытых эпитаксиальным слоем КДБ-0.7 толщиной 1 мкм.

Образцы зажимались буферными стержнями из дюралюминия.  $C$  измеряли в зависимости от температуры на установке, описанной в [3], при частоте датчиков УЗ продольных волн 0.66 МГц и погрешности 5 % для ЕДЧ и пленок толщиной 20 мкм и 1 % для прочих образцов.

Исследуемый для каждого материала диапазон температур включал  $T_n$  с известным механизмом. Для медной фольги он связан с увеличением подвижности дефектов вблизи 80 °C [4]: для TiNi — с мартенситным превращением около 60 °C, сопровождающимся электронными перестройками [5]; для ПП — с увеличением подвижности аморфных областей на поверхности кристаллитов [6]; для ПА — с увеличением подвижности остатков химически непрореагировавших атомных групп [7]; для Si — с перераспределением частот в фононном спектре вблизи 36 °C [8].

Для относительно чистого Si по температурной зависимости  $C$  выявлен, кроме известного  $T_n$ , релаксационный процесс при более высоких температурах (рис. 1). По мере увеличения концентрации носителей тока в Si экстремумы  $C$  в этой области температур увеличивались по высоте. Для Si, покрытого эпитаксиальным слоем, хорошо разрешалась тонкая структура релаксационного спектра.

На температурной зависимости  $C$  медной фольги наблюдался широкий экстремум  $C$  вблизи 65 °C. При той же температуре, что и для медной фольги, для TiNi при повторном нагревании образца спустя 14 ч после первого нагревания до 100 °C и охлаждения до 20 °C в атмосферных условиях также наблюдался экстремум  $C$ , не регистрировавшийся при первом нагревании TiNi.

Для пленок диэлектриков и для ЕДЧ тонкая структура релаксационного спектра на зависимости  $C$  от температуры разрешалась лучше: чем для Si, покрытого эпитаксиальным слоем (рис. 2).

Положение спектральных линий  $C$  на температурной шкале, образующих тонкую структуру релаксационного спектра, не зависело от химической индивидуальности материала и типа решетки.

Высота экстремумов  $C$  для диэлектриков увеличивалась при сокращении толщины пленок и, следовательно, при увеличении доли электронов поверхности в общем содержании электронов образца.

На высоту экстремумов на температурных зависимостях  $C$  диэлектриков оказывало влияние наличие остатков катализатора в пленках, спо-

собных компенсировать заряды в них. Высота экстремумов  $C$  для ЕДЧ зависела от того, какой катализатор применялся при получении ЕДЧ.

Повторное, спустя два года, измерение  $C$  в зависимости от температуры для пленки ПА подтвердило наличие экстремума  $C$ . Высота экстремума уменьшилась вследствие уменьшения содержания химически не прореагировавших групп, а тонкая структура релаксационного спектра в выдержаных во времени пленках ПА не разрешалась.

Результат, указывающий на независимость положения спектральных линий  $C$  от химической индивидуальности и типа решетки, свидетельствует о связи спектров  $C$  с зарядами, потерявшими равновесие с решеткой. При наличии неравновесных с решеткой зарядов возбуждаются их плазменные колебания, с которыми УЗ импульсы могут вступать во взаимо-

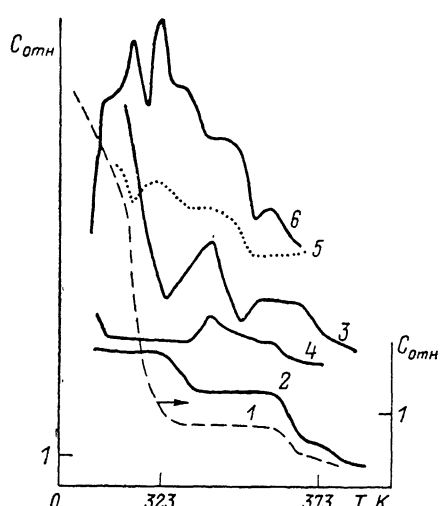


Рис. 1. Форма температурных зависимостей скорости волн в Si с концентрацией электронов  $9.1 \cdot 10^{14} \text{ см}^{-3}$  (1), в TiNi при первом (2) и при повторном (3) нагревании, в медной фольге (4), в КЭС-0.01 (5) и КЭС-0.01 с эпитаксиальным покрытием КДБ-0.7 (6).

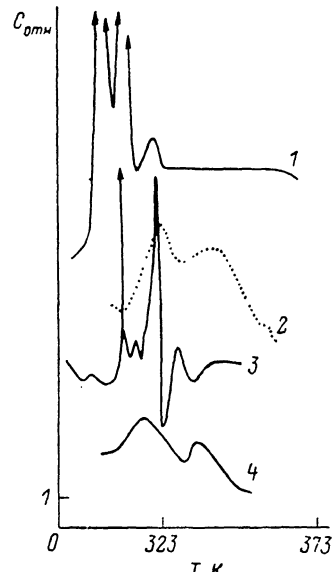


Рис. 2. Форма температурных зависимостей скорости волн для дисперсной частицы ПА, полученного с применением титан-магниевого катализатора (1), для КДБ-0.03 (2), для пленки ПА толщиной 20 мкм через неделю (3) и через 2 года после ее получения (4).

действие. Кроме того, неустойчивость плазмы неравновесных носителей заряда в области  $T_n$  способствует появлению избыточного по сравнению с тепловым электромагнитного излучения, вступающего во взаимодействие с УЗ волнами и создающего предпосылки для образования связанных акустических и электромагнитных волн [8]. В результате возбуждения акустоплазменных и акустоэлектромагнитных волн, распространяющихся с большей по сравнению с  $C'$  скоростью, наблюдаются экстремумы  $C$  при температурах изменения частот плазменных колебаний неравновесных зарядов до значений, близких к резонансным с УЗ волнами.

Близкое положение спектральных линий  $C$  на зависимости от температуры для различных материалов может быть связано со сходством в энергетических спектрах плазменных колебаний зарядов.

Таким образом, в эксперименте выявлены длительные нарушения равновесия между решеткой и носителями заряда в окрестности  $T_n$ , определяющие тонкую структуру релаксационных спектров.

#### Список литературы

- [1] Стикс Т. Теория плазменных волн. М.: Атомиздат, 1965. 342 с.
- [2] Волкова А. В., Зорин Н. Л., Горбунов М. А. // Механика композитных материалов. 1988. № 4. С. 751.

- [3] Волкова А. В. // Заводская лаборатория. 1987. Т. 53. № 8. С. 57.
- [4] Новик А., Берри Б. Релаксационные явления в кристаллах. М.: Атомиздат, 1975. С. 353.
- [5] Корнилов И. И., Белоусов О. К., Кацур Е. В. Никелид титана и другие сплавы с эффектами «памяти». М.: Наука, 1977.
- [6] Бартенев Г. М., Алигулиев Р. М. // Высокомолек. соед. 1984. Т. 26А. № 6. С. 1236—1245.
- [7] Участкин В. И., Коробов В. П. // Пластмассы. 1979. № 7. С. 58.
- [8] Векилов Ю. Х., Кедышевич А. Е., Красильников О. М. // ФТТ. 1971. Т. 13. № 5. С. 1310—1320.
- [9] Канер Э. А., Яковенко В. М. // УФН. 1975. Т. 115. № 1. С. 41—73.

Владимирский государственный  
педагогический институт  
им. П. И. Лебедева-Полянского  
Владимир

Поступило в Редакцию  
16 января 1989 г.  
В окончательной редакции  
16 марта 1989 г.

УДК 534.113

*Физика твердого тела, том 31, в. 8, 1989*  
*Solid State Physics, vol. 31, N 8, 1989*

## АНОМАЛИЯ АКУСТИЧЕСКОГО ПОГЛОЩЕНИЯ ПРИ ЛОКАЛЬНОЙ КОНФИГУРАЦИОННОЙ НЕУСТОЙЧИВОСТИ

C. B. Афанасьев, B. C. Вихнин

Хорошо известно, что исследование динамических эффектов в условиях неустойчивости кристаллической решетки дает важную информацию о природе фазовых переходов в матрице. В настоящей работе показано, что не менее важную роль исследование динамических эффектов может играть в ситуации локальной конфигурационной неустойчивости (ЛКН) — спонтанной перестройке потенциала дефекта с изменением температуры, приводящей к многоямкому потенциалу.

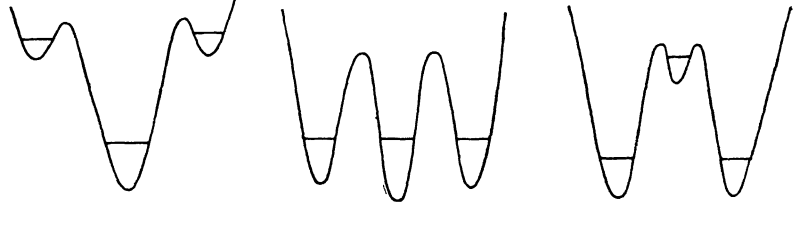


Рис. 1. Температурная зависимость потенциала дефекта для случая ЛКН 1-го рода.  $T > T_{\text{ЛКН}}$  (a),  $T = T_{\text{ЛКН}}$  (б),  $T < T_{\text{ЛКН}}$  (в).

По оси абсцисс отложена колебательная координата, по оси ординат — потенциальная энергия.

В качестве характерного динамического эффекта в работе исследуется поглощение гиперзвука в условиях ЛКН 1-го рода. ЛКН 1-го рода реализуется для локальных центров с зависящим от температуры многоямным потенциалом [1, 2]. Здесь абсолютный минимум потенциала соответствует нулевому равновесному искажению, а боковые относительные минимумы — ненулевому равновесному искажению (рис. 1). При температуре  $T > T_{\text{ЛКН}}$  система находится в центральном минимуме и реализуется случай высокой симметрии. При  $T = T_{\text{ЛКН}}$  происходит совпадение уровней энергии в абсолютном и относительных минимумах. При  $T < T_{\text{ЛКН}}$  боковые минимумы становятся глубже центрального, их населенность резко возрастает и активные ионы становятся нецентральными. Главный результат работы состоит в предсказании аномального поглощения гиперзвука при  $T = T_{\text{ЛКН}}$  в кристалле с примесями, испытывающими ЛКН 1-го рода.